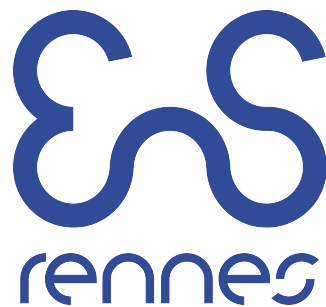


ANNÉE 2017



RAPPORT DE LECTURE DIRIGÉE

par

Rémi Moreau, Antoine Sabut et Pierre Houédry

Nombres p -adiques

sous la tutelle de
Yvan Ziegler

Lemme de Hensel

Table des matières

Dans tout ce qui suit, p désigne un entier premier.

1. Anneau des entiers p -adiques

1.1. Généralités

Définition 1.1. Un entier p -adique est une série formelle $\sum_{i=0}^{\infty} a_i p^i$ où $0 \leq a_i < p$. L'ensemble des entiers p -adiques est alors noté \mathbb{Z}_p .

On remarque qu'un entier p -adique s'identifie à la suite de ses coefficients $(a_i)_{i \in \mathbb{N}} : \mathbb{Z}_p$ correspond ensemblistement à $\llbracket 0, p-1 \rrbracket^{\mathbb{N}}$.

La décomposition en base p assure une injection de \mathbb{N} dans \mathbb{Z}_p .

Théorème 1.2. \mathbb{Z}_p n'est pas dénombrable.

Démonstration. On raisonne par un argument diagonal. Pour toute séquence d'entiers p -adiques,

$$a = \sum_{i=0}^{\infty} a_i p^i, \quad b = \sum_{i=0}^{\infty} b_i p^i, \quad c = \sum_{i=0}^{\infty} c_i p^i, \quad \dots$$

on peut construire un $x = \sum_{i=0}^{\infty} x_i p^i$ en choisissant $x_0 \neq a_0, x_1 \neq b_1, x_2 \neq c_2, \dots$. Ainsi construit, x est différent de tout élément existant. Il n'existe donc pas de surjection de \mathbb{N} dans \mathbb{Z}_p . \square

On peut munir \mathbb{Z}_p d'une addition $+$ et d'une multiplication \times définies sur le modèle des opérations en base p : les algorithmes usuels sont poursuivis à l'infini. L'élément neutre pour l'addition est 0 et tout entier p -adique admet un opposé :

$$\sum_{i=0}^{\infty} (p-1)p^i = -1 \quad \text{et} \quad \sum_{i=0}^{\infty} a_i p^i + \sum_{i=0}^{\infty} (p-1-a_i)p^i + 1 = 0$$

Il existe également des éléments inversibles au sens de la multiplication.

Exemple 1.3. $(1-p)^{-1} = \frac{1}{1-p} = \sum_{i=0}^{\infty} p^i$ et pour $\alpha \in \mathbb{Z}_p$, $(1+\alpha p)^{-1} = \sum_{i=0}^{\infty} (-1)^i (\alpha p)^i$.

Théorème 1.4. $(\mathbb{Z}, +, \times)$ est un anneau commutatif.

1.2. Propriétés de l'anneau \mathbb{Z}_p

Définition 1.5. Soit $a = \sum_{i=0}^{\infty} a_i p^i \in \mathbb{Z}_p$.

La *valuation* (aussi appelée *ordre*) de a , notée $\nu(a)$, est définie par

$$\nu(a) = \begin{cases} \min\{i \in \mathbb{N} \mid a_i \neq 0\} & \text{si } a \neq 0 \\ \infty & \text{si } a = 0 \end{cases}$$

Proposition 1.6.

(i) \mathbb{Z}_p est intègre.

(ii) $\forall a, b \in \mathbb{Z}_p, \nu(ab) = \nu(a) + \nu(b)$ et $\nu(a + b) \geq \min\{\nu(a), \nu(b)\}$

Démonstration. \mathbb{Z}_p est non nul. Soient $a = \sum_{i=0}^{\infty} a_i p^i, b = \sum_{i=0}^{\infty} b_i p^i$ non nuls. $a_{\nu(a)}$ (resp. $b_{\nu(b)}$) est le premier coefficient non nul de a (resp. b). p ne divise ni $a_{\nu(a)}$, ni $b_{\nu(b)}$, donc p ne divise pas leur produit $a_{\nu(a)} b_{\nu(b)}$. $a_{\nu(a)} b_{\nu(b)}$ est le premier coefficient non nul de $a \times b$. En particulier, $a \times b \neq 0$. Ainsi \mathbb{Z}_p ne contient pas de diviseur de zéro. \mathbb{Z}_p est intègre. \square

Définition 1.7. L'application $\varepsilon : \mathbb{Z}_p \rightarrow \mathbb{Z}/p\mathbb{Z}$ donnée par $\varepsilon(\sum_{i=0}^{\infty} a_i p^i) = a_0 \pmod p$ définit un morphisme d'anneaux, de noyau $\ker \varepsilon = p\mathbb{Z}_p$. C'est le morphisme de réduction modulo p .

Proposition 1.8. L'ensemble des inversibles de \mathbb{Z}_p est $\mathbb{Z}_p^\times = \{\sum_{i=0}^{\infty} a_i p^i \mid a_0 \neq 0\} = \mathbb{Z}_p \setminus p\mathbb{Z}_p$.

Démonstration. Si $a \in \mathbb{Z}_p$ est inversible, alors son image $\varepsilon(a) \in \mathbb{Z}/p\mathbb{Z}$ est inversible dans $\mathbb{Z}/p\mathbb{Z}$, ce qui prouve la première inclusion : $\mathbb{Z}_p^\times \subset \{\sum_{i=0}^{\infty} a_i p^i \mid a_0 \neq 0\}$.

Réciproquement, soit $a \in \mathbb{Z}_p$ avec $a_0 \neq 0$. $\mathbb{Z}/p\mathbb{Z}$ est un corps, donc $\exists \overline{b_0} \in \mathbb{Z}/p\mathbb{Z}, \overline{a_0 b_0} = \overline{1}$. Pour $b_0 \in \llbracket 1, p-1 \rrbracket, ab_0 = 1 + \alpha p \in \mathbb{Z}_p^\times$ puisque $(1 + \alpha p) \sum_{i=0}^{\infty} (-1)^i (\alpha p)^i = 1$.

Donc a est inversible, d'inverse $a^{-1} = b_0(1 + \alpha p)^{-1}, \{\sum_{i=0}^{\infty} a_i p^i \mid a_0 \neq 0\} \subset \mathbb{Z}_p^\times$. \square

Proposition 1.9.

(i) \mathbb{Z}_p est principal.

(ii) Les seuls idéaux de \mathbb{Z}_p sont les $(p^k) = p^k \mathbb{Z}_p, k \in \mathbb{N}$. Ils sont principaux.

(iii) $p\mathbb{Z}_p$ est le seul idéal maximal.

Démonstration. Il est facile de voir que les seuls sous-groupes de \mathbb{Z}_p sont les $p^k \mathbb{Z}_p, k \in \mathbb{N}$. Ceux-ci vérifient en particulier le caractère absorbant et sont principaux. \square

2. Topologie de \mathbb{Z}_p

$X_p = \llbracket 0, p-1 \rrbracket^{\mathbb{N}}$ est compact en tant que produit de compacts pour la topologie produit (théorème de Tychonoff, version dénombrable). (La topologie sur $\llbracket 0, p-1 \rrbracket$ est la topologie discrète.) \mathbb{Z}_p est donc aussi compact pour cette topologie.

Toutes les métriques sur un espace compact métrisable sont équivalentes : on introduit ici la distance p -adique, pour laquelle la topologie est équivalente à celle présentée ci-dessus.

2.1. Propriétés de la distance

Proposition 2.1. $d : (x, y) \mapsto p^{-\nu(x-y)}$ définit une distance sur \mathbb{Z}_p , la distance p -adique. Muni de cette métrique, la multiplication par p est $\frac{1}{p}$ -contractante, donc continue.

Désormais, \mathbb{Z}_p est muni de la distance p -adique.

Démonstration. On vérifie sans difficulté les propriétés de distance pour d .

$$d(px, py) = p^{-\nu(px-py)} = p^{-\nu(p(x-y))} = p^{-\nu(x-y)-\nu(p)} = p^{-\nu(x-y)-1} = \frac{1}{p} p^{-\nu(x-y)} = \frac{1}{p} d(x, y)$$

□

Théorème 2.2. \mathbb{N} est une partie dense de \mathbb{Z}_p .

Démonstration. $a = \sum_{i=0}^{\infty} a_i p^i \in \mathbb{Z}_p$ est limite de la suite d'entiers naturels $(\sum_{i=0}^n a_i p^i)_{n \in \mathbb{N}}$. □

Proposition 2.3. La distance p -adique définit une distance ultramétrique sur \mathbb{Z}_p :

$$\forall x, y, z \in \mathbb{Z}_p, d(x, y) = 0 \Leftrightarrow x = y \quad ; \quad d(x, y) = d(y, x) \quad ; \quad d(x, y) \leq \max\{d(x, z), d(z, y)\}$$

Cette dernière propriété, plus forte que l'inégalité triangulaire, est appelée *inégalité ultramétrique*.

Démonstration.

$\nu(a+b) \geq \min\{\nu(a), \nu(b)\}$ donc $p^{-\nu(x-y)} \leq \max\{p^{-\nu(x-z)}, p^{-\nu(z-y)}\}$ où $a = x-z$ et $b = z-y$. □

Proposition 2.4. Soit (X, d) un espace ultramétrique.

(i) Pour qu'une suite $(x_n) \in \mathbb{X}^{\mathbb{N}}$ soit de Cauchy, il suffit que $d(x_n, x_{n+1}) \rightarrow 0$.

(ii) Tout point d'une boule en est son centre.

(iii) Toute boule ouverte est fermée. Toute boule fermée est ouverte.

(iv) Tout triangle de X est isocèle. De plus, sa base est au plus égale aux côtés égaux.

Démonstration.

(i) Pour $p, q \in \mathbb{N}$, $p > q$: $d(x_p, x_q) \leq \max\{d(x_p, x_{p-1}), \dots, d(x_{q+1}, x_q)\}$.

(ii) Soient $x \in \mathbb{Z}_p$, $r \in \mathbb{R}_+^*$, $y \in \mathcal{B}(x, r)$. Montrons $\mathcal{B}(x, r) = \mathcal{B}(y, r)$. Soit $z \in \mathcal{B}(y, r)$ (resp. $z \in \mathcal{B}(x, r)$).

$$d(z, y) \leq \max\{d(z, x), d(x, y)\} \leq r \quad (\text{resp. } d(z, x) \leq \max\{d(z, y), d(y, x)\} \leq r) : \mathcal{B}(x, r) = \mathcal{B}(y, r)$$

- (iii) Soit $\mathcal{B}_f(x, r)$ boule fermée de \mathbb{Z}_p . Soit $z \in \mathcal{B}(x, r)$.
 $\mathcal{B}_f(z, r) = \mathcal{B}_f(x, r)$ donc $\mathcal{B}(z, \frac{r}{2}) \subset \mathcal{B}_f(x, r)$. Donc $\mathcal{B}_f(x, r)$ ouverte. Soit $\mathcal{B}(x, r)$ boule ouverte de \mathbb{Z}_p . Soit $(x_n) \in \mathcal{B}(x, r)^\mathbb{N}$, $x_n \rightarrow x_\infty$.
 $\forall n \in \mathbb{N}$, $d(x, x_\infty) \leq \max\{d(x, x_n), d(x_n, x_\infty)\} < r$ donc $x_\infty \in \mathcal{B}(x, r)$. Donc $\mathcal{B}(x, r)$ fermée.
- (iv) Soit $(x, y, z) \in \mathbb{Z}_p$. Supposons (sans perte de généralités) que $d(x, y) \leq d(x, z) \leq d(y, z)$.
 $d(y, z) \leq \max\{d(x, y), d(x, z)\} = d(x, z)$ car d est ultramétrique. Ainsi $d(x, z) = d(y, z)$.

□

Corollaire 2.5. *Les boules ouvertes de \mathbb{Z}_p sont exactement les boules fermées de \mathbb{Z}_p .*

\mathbb{Z}_p est totalement discontinu (car ultramétrique) : ses composantes connexes sont les singletons.

2.2. Espace de Cantor - Analogie avec \mathbb{Z}_2

Définition 2.6. L'espace de Cantor est la limite C de la suite de compacts $(C_n)_n$ définie par :

$$C_0 = [0, 1] \text{ et } \forall n \in \mathbb{N}, C_{n+1} = \frac{C_n}{3} \cup \frac{2 + C_n}{3}$$



FIGURE 1 – Représentation des 6 premières itérations

Proposition 2.7. *L'espace de Cantor est un compact non vide de $[0, 1]$, de mesure nulle, non dénombrable et d'intérieur vide. De plus :*

$$C = \left\{ \sum_{i=1}^{\infty} \frac{2\alpha_i}{3^i} \mid \forall i \in \mathbb{N}, \alpha_i \in \{0, 1\} \right\}$$

Démonstration.

- (i) C est compact car il est fermé borné dans $[0, 1]$ de dimension finie.
- (ii) $C = \bigcap_{n \in \mathbb{N}} C_n$ donc $\lambda(C) = \lim_{n \rightarrow \infty} \lambda(C_n) = \lim_{n \rightarrow \infty} \left(\frac{2}{3}\right)^n = 0$. $\overset{\circ}{C}$ est un ouvert de mesure nulle, C est d'intérieur vide.
- (iii) Notons I_n l'un des 2^n intervalles composant C_n .
 Soit $\Phi : x \in C \mapsto (\alpha_n^x)_n$ défini par : $\alpha_n^x = 0$ si x est dans le premier tiers de I_n , $\alpha_n^x = 2$ sinon.
 Φ définit une bijection entre $[0, 1]$ et C : C est non dénombrable.
- (iv) Par récurrence, $\forall n \in \mathbb{N}$, $K = \left\{ \sum_{i=1}^{\infty} \frac{\alpha_i^x}{3^i} \mid \forall i \in \mathbb{N}, \alpha_i \in \{0, 2\} \right\} \subset C_n$ donc $K \subset C$.
 De plus, tout $x \in C$ est limite de $\left(\sum_{i=1}^n \frac{\alpha_i^x}{3^i}\right)_n$ donc $C \subset \overline{K} = K$.

□

Lien avec \mathbb{Z}_2

La preuve précédente introduit l'homéomorphisme $\psi : \sum_{i=0}^{\infty} a_i 2^i \mapsto \sum_{i=0}^{\infty} \frac{2a_i}{3^{i+1}}$ de \mathbb{Z}_2 dans C .

Considérons aussi la surjection $\varphi : \sum_{i=0}^{\infty} a_i 2^i \mapsto \sum_{i=0}^{\infty} \frac{a_i}{2^{i+1}}$ de \mathbb{Z}_2 dans $[0, 1]$. Notons que φ n'est pas injective : $\sum_{i>j} 2^i$ et 2^j ont la même image par φ .

Le modèle précédent est résumé dans le schéma (commutatif) suivant :

$$\begin{array}{ccc} \psi : \mathbb{Z}_2 & \rightarrow & C \subset [0, 1] \\ \parallel & & \downarrow \\ \varphi : \mathbb{Z}_2 & \rightarrow & [0, 1] \end{array}$$

On identifie comme ci-dessous les extrémités de C sur les $\frac{a}{2^j}$ de $[0, 1]$.

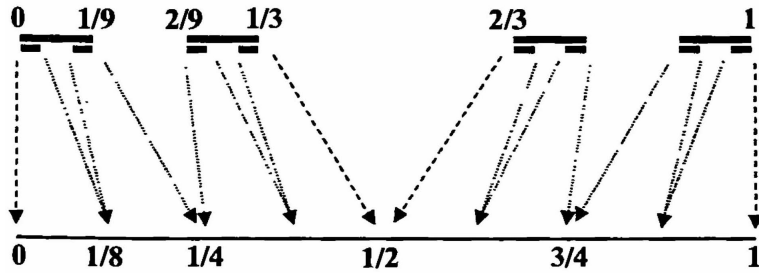


FIGURE 2 – Recollement des extrémités de C

3. Algèbre topologique

3.1. Groupes topologiques

3.1.1. Groupes et sous-groupes topologiques

Définition 3.1. Un groupe topologique G est un groupe muni d'une topologie qui rend l'application $(x, y) \in G \times G \mapsto xy^{-1}$ continue.

Dans ce cas, les translations et $x \mapsto x^{-1}$ sont des homéomorphismes.

Un sous-groupe H d'un groupe topologique G est un groupe topologique pour la topologie induite par G sur H .

Exemples 3.2. $(\mathbb{Z}_p, +)$, $(\mathbb{R}, +)$ et $(\mathbb{Z}_p^\times, \times)$ sont des groupes topologiques.

Définition 3.3. Un espace est dit localement compact si chacun de ses points admet un voisinage compact.

Proposition 3.4. *Si un groupe topologique admet un voisinage compact d'un de ses points, alors il est localement compact.*

Démonstration. Les translations (homéomorphes) envoient ce voisinage compact sur un voisinage compact de tout point du groupe topologique. \square

Lemme 3.5. *Soit G un groupe topologique. Soit H un sous-groupe de G .*

(i) *L'adhérence \overline{H} de H est un sous-groupe de G .*

(ii) *G est séparé si et seulement si $\{e_G\}$ est fermé.*

Démonstration.

(i) Notons $\varphi : (x, y) \in G \times G \mapsto xy^{-1}$. H est un sous-groupe donc $\varphi(H \times H) \subset H$.

$$\varphi(\overline{H} \times \overline{H}) = \varphi(\overline{H \times H}) \subset \overline{\varphi(H \times H)} \subset \overline{H}$$

Cela montre que \overline{H} est un sous-groupe de G .

(ii) Rappelons que G est séparé si et seulement si la diagonale Δ_G est fermée dans $G \times G$. De là :

$$G \text{ séparé} \Rightarrow \{e_G\} \text{ fermé} \Rightarrow \Delta_G = \varphi^{-1}(\{e\}) \text{ fermé dans } G \times G \Rightarrow G \text{ séparé}$$

\square

Théorème 3.6. *Soit H un sous-groupe d'un groupe topologique G .*

Si H contient un voisinage du neutre e_G , alors H est à la fois ouvert et fermé dans G .

Démonstration.

(i) *H est ouvert* Notons V un voisinage de e_G contenu dans H . Puisque $V \subset H$ et les translations sont des homéomorphismes, pour tout $h \in H$, hV est un voisinage de h contenu dans H . H est ouvert car voisinage de chacun de ses points.

(ii) *H est fermé* Pour $g \in H$, gH est ouvert et $H = \left(\bigcup_{gH \neq H} gH \right)^c$. H est fermé en tant que complémentaire d'un ouvert.

\square

Exemples 3.7. Les sous-groupes $p^n\mathbb{Z}_p$ (resp. $1 + p^n\mathbb{Z}_p$) sont des sous-groupes ouverts et fermés de \mathbb{Z}_p (resp. $1 + p\mathbb{Z}_p$).

Définition 3.8. Un sous-espace topologique Y de X est dit localement fermé dans X si tout point $y \in Y$ admet un voisinage ouvert V dans X tel que $V \cap Y$ est fermé dans V .

Proposition 3.9. *Un sous-groupe localement fermé d'un groupe topologique est fermé.*

Démonstration. H est localement fermé dans G donc ouvert dans \overline{H} . Or \overline{H} est un sous-groupe topologique de G , donc H est fermé dans \overline{H} , i.e. $H = \overline{H}$, H fermé dans G . \square

Corollaire 3.10. *Soit G un groupe topologique. Soit H un sous-groupe de G .*

(i) *Si G est séparé et H localement compact, alors H est fermé.*

(ii) *Si G est séparé et H discret, alors H est fermé.*

(iii) *G/H est séparé si et seulement si H est fermé.*

Proposition 3.11. *Tout groupe topologique métrisable localement compact est complet.*

Démonstration. Le complété de G , groupe métrisable localement compact, est aussi topologique, donc G est fermé dans son complété, d'où le résultat. \square

Les résultats précédents sont résumés dans le schéma suivant :

$$\begin{array}{ccc}
 G/H \text{ fini et séparé} & \Leftrightarrow & H \text{ fermé d'indice fini} \\
 \downarrow & & \downarrow \\
 G/H \text{ discret} & \Leftrightarrow & H \text{ ouvert} \\
 \downarrow & & \downarrow \\
 G/H \text{ séparé} & \Leftrightarrow & H \text{ fermé}
 \end{array}$$

3.1.2. Sous-groupes fermés de \mathbb{R} et de \mathbb{Z}_p

Proposition 3.12. *Les sous-groupes discrets de \mathbb{R} sont les $a\mathbb{Z}$, où $a \in \mathbb{R}$.*

Démonstration. Soit H un sous-groupe discret non trivial de \mathbb{R} . Il est fermé. Soit $h \neq 0$ dans H . $H \cap [0, |h|]$ est discret et compact donc fini. Il admet donc un plus petit élément non nul noté $a \in H$. Par stabilité du sous-groupe, $a\mathbb{Z} \subset H$. De plus, pour $b \in H$, $b = ma + r$ avec $0 \leq r < a$ où m est la partie entière de b/a . $r = b - ma \in H$ et $0 \leq r < a$ donc $r = 0$. Ainsi $b \in a\mathbb{Z}$. \square

Corollaire 3.13. *Le quotient de \mathbb{R} par un sous-groupe discret non trivial est compact.*

Démonstration. Il suffit de considérer $\varphi : \mathbb{R} \rightarrow \mathbb{U}; x \mapsto \exp(\frac{2i\pi x}{a})$ de noyau $H = a\mathbb{Z}$. \square

Proposition 3.14. *Tout sous-groupe de \mathbb{R} non discret est dense dans \mathbb{R} .*

Démonstration. C'est le cas où $\inf H \cap [0, |h|] = 0$.

Pour x, y distincts dans \mathbb{R} , $\exists h \in H$, $0 < h < |x - y|$. Posons $n = \lfloor \frac{x}{h} + 1 \rfloor$.

$$x < nh = (n - 1)h + h \leq x + h < x + (y - x) = y \text{ donc } x < nh < y : H \text{ est dense dans } \mathbb{R}.$$

En effet, entre deux réels x et y , on réussit à placer un élément de H . \square

Corollaire 3.15. *Les sous-groupes fermés propres de \mathbb{R} sont les sous-groupes discrets $a\mathbb{Z}$. Le seul sous-groupe compact de \mathbb{R} est $\{0\}$.*

Proposition 3.16. *Les sous-groupes fermés de $(\mathbb{Z}_p, +)$ sont $\{0\}$ et les $p^m\mathbb{Z}_p$, $m \in \mathbb{N}$. Ce sont des idéaux.*

Démonstration. Un sous-groupe fermé H de \mathbb{Z}_p vérifie $\mathbb{Z}H = H$ donc pour $h \in H$, $h\mathbb{Z}_p \subset \overline{h\mathbb{Z}} \subset \overline{H} = H$ car H fermé. Donc tout sous-groupe fermé de \mathbb{Z}_p est un idéal de \mathbb{Z}_p . \square

Corollaire 3.17. *Le quotient de \mathbb{Z}_p par un sous-groupe fermé H non trivial est discret. Le seul sous-groupe discret de $(\mathbb{Z}, +)$ est le sous-groupe trivial $\{0\}$.*

3.2. Anneaux topologiques

Définition 3.18. Un anneau topologique est un anneau $(A, +, \cdot)$ muni d'une topologie qui rend les applications $(x, y) \mapsto x + y$ et $(x, y) \mapsto x \cdot y$ continues sur $A \times A$.

En particulier, un anneau topologique est un groupe topologique muni d'une multiplication continue sur $A \times A$.

Proposition 3.19. *Muni de la métrique p -adique, \mathbb{Z}_p est un anneau topologique. (\mathbb{Z}_p, d) est un espace complet et compact.*

Démonstration.

$(\mathbb{Z}_p, +)$ est topologique ce qui assure la continuité de l'addition. Soit $(a, b, k, h) \in \mathbb{Z}_p$.

$$|(a + h)(b + k) - ab| = |ak + hb - hk| \leq \max\{|a|, |b|\}(|h| + |k|) + |h||k| \xrightarrow[|h|, |k| \rightarrow 0]{} 0$$

Cela assure la continuité de la multiplication sur $A \times A$.

Par Tychonoff, \mathbb{Z}_p est compact. Muni de la métrique d , il est donc complet (toute suite de Cauchy admettant une valeur d'adhérence est convergente). \square

Corollaire 3.20.

- (i) *Le groupe topologique \mathbb{Z}_p est le complété de \mathbb{Z} pour la topologie induite.*
- (ii) *La suite $(x_n = \sum_{i=0}^n x_i p^i)$ est de Cauchy dans \mathbb{Z}_p complet, de limite $x = \sum_{i \geq 0} x_i p^i$.*
- (iii) *L'addition et la multiplication d'entiers p -adiques sont les seules opérations continues sur \mathbb{Z}_p prolongeant l'addition et la multiplication des entiers naturels.*

3.3. Corps topologiques - Corps valués

Définition 3.21. Un corps topologique K est un corps muni d'une topologie qui rend les applications $(x, y) \mapsto x + y$, $(x, y) \mapsto xy$ continues sur $K \times K$ et le passage à l'inverse continu sur K^\times .

Définition 3.22. Soit K un corps. Une valeur absolue sur K est un morphisme de groupes $|\cdot| : K^\times \rightarrow \mathbb{R}_+^*$ étendu par $|0| = 0$ vérifiant l'inégalité triangulaire.

$(K^\times, |\cdot|)$ est appelé corps valué. Dans ce contexte, $d : (x, y) \mapsto |x - y|$ définit une distance sur K .

Proposition 3.23.

- (i) *Un corps valué muni d'une telle distance est un corps topologique.*
- (ii) *Le complété d'un corps valué est encore un corps valué.*

4. Limites projectives

La réduction modulo p^n $\varepsilon_n : \mathbb{Z}_p \rightarrow \mathbb{Z}/p^n\mathbb{Z}$, qui à un entier p -adique $x = \sum_{i=0}^{\infty} a_i p^i$ associe $\overline{\sum_{i=0}^{n-1} a_i p^i}$, et le morphisme canonique $\varphi_n : \mathbb{Z}/p^{n+1}\mathbb{Z} \rightarrow \mathbb{Z}/p^n\mathbb{Z}$ donnent le diagramme commutatif suivant :

$$\begin{array}{ccc} \mathbb{Z}_p & \xrightarrow{\varepsilon_{n+1}} & \mathbb{Z}/p^{n+1}\mathbb{Z} \\ & \searrow \varepsilon_n & \swarrow \varphi_n \\ & \mathbb{Z}/p^n\mathbb{Z} & \end{array}$$

\mathbb{Z}_p semble “plus proche” de $\mathbb{Z}/p^{n+1}\mathbb{Z}$ que de $\mathbb{Z}/p^n\mathbb{Z}$. Si $x = \sum_{i=0}^{\infty} a_i p^i \in \mathbb{Z}_p$ alors $\lim_{n \rightarrow \infty} \sum_{i < n} a_i p^i = x$, où chaque $\sum_{i < n} a_i p^i$ peut être vu comme un élément de $\mathbb{Z}/p^n\mathbb{Z}$.

On aimerait pouvoir dire, dans un sens à expliciter, que $\mathbb{Z}/p^n\mathbb{Z}$ converge vers \mathbb{Z}_p .

4.1. Existence et propriétés d’une limite projective

Définition 4.1. Un système d’ensembles et d’applications $(E_n, \varphi_n)_{n \in \mathbb{N}}$ avec $\varphi_n : E_{n+1} \rightarrow E_n$ est appelé *système projectif*.

Définition 4.2. La donnée d’un ensemble E et d’applications $\psi_n : E \rightarrow E_n$ est appelée *limite projective* de $(E_n, \varphi_n)_{n \in \mathbb{N}}$ si pour tout ensemble X et toutes applications $f_n : X \rightarrow E_n$ tels que $\forall n \in \mathbb{N} \ f_n = \varphi_n \circ f_{n+1}$, il existe une unique factorisation $f : X \rightarrow E$ telle que :

$$f_n = \psi_n \circ f \quad \text{pour tout } n \geq 0$$

La limite projective est notée $\lim_{\leftarrow} E_n$. La situation est résumée par le schéma suivant :

$$\begin{array}{ccccccc} X & & & & & & \\ \downarrow f & \searrow f_n & & & & & \\ \lim_{\leftarrow} E_n & \cdots & \xrightarrow{\varphi_{n+1}} & E_{n+1} & \xrightarrow{\varphi_n} & E_n & \longrightarrow \cdots \end{array}$$

Théorème 4.3. Pour tout système projectif $(E_n, \varphi_n)_{n \in \mathbb{N}}$, il existe une limite projective $\lim_{\leftarrow} E_n \subset \prod_{n \geq 0} E_n$ avec ψ_n données par les restrictions des projections.

De plus, si (E', ψ'_n) est une autre limite projective du même système, alors il existe une unique bijection $f : E' \rightarrow E$ telle que $\psi'_n = \psi_n \circ f$.

Démonstration.

(i) *Existence.* Posons

$$E = \{(x_n)_{n \in \mathbb{N}}, \varphi_n(x_{n+1}) = x_n\} \subset \prod_{n \geq 0} E_n$$

Ce sont les *suites cohérentes* relativement aux φ_n . Si $x \in E$ alors $\varphi_n(p_{n+1}(x)) = p_n(x)$. On peut donc considérer les restrictions ψ_n des projections p_n à E et alors $\varphi_n \circ \psi_{n+1} = \psi_n$.

Montrons que l'ensemble E ainsi construit muni des ψ_n possède la propriété universelle requise. Considérons E' et des applications $\psi'_n : E' \rightarrow E_n$ tels que $\forall n \in \mathbb{N} \quad \psi'_n = \varphi_n \circ \psi'_{n+1}$.

$$\psi' : E' \rightarrow \prod_{n \geq 0} E_n, \quad y \mapsto \psi'_n(y)$$

La relation $\varphi_n(\psi'_{n+1}(y)) = \psi'_n$ implique que l'image de ψ' est incluse dans E . Il existe donc bien $f : E' \rightarrow E$ ayant la propriété voulue et c'est ψ'_n avec E comme ensemble d'arrivée.

(ii) *Unicité.* Si $(E, (\psi_n))$ et $(E', (\psi'_n))$ possède la propriété universelle de factorisation, alors il y a aussi une unique application $f' : E' \rightarrow E$ tel que $\psi_n = \psi'_n \circ f'$. Par substitution :

$$\psi'_n = \psi_n \circ f = \psi'_n \circ f' \circ f$$

$f' \circ f$ est donc une factorisation de l'identité et puisque $(E', (\psi'_n))$ est une limite projective du système, nécessairement $f' \circ f = Id_{E'}$. De la même manière, $f \circ f' = Id_E$. La preuve de l'unicité montre que le diagramme suivant est commutatif.

$$\begin{array}{ccccc} E & \xrightarrow{f} & E' & \xrightarrow{f'} & E \\ & & \searrow & \nearrow & \\ & & & Id & \end{array}$$

□

Corollaire 4.4. *Si pour un système projectif $(E_n, \varphi_n)_{n \in \mathbb{N}}$ les applications φ_n sont surjectives, alors les projections ψ_n de la limite projective (E, ψ_n) le sont aussi. En particulier, E est non vide.*

Démonstration. Par construction de E par rapport à $\prod E_n$, il suffit de montrer que pour tout $x_n \in E_n$, il existe un élément de E avec x_n pour n -ème composantes. Par surjectivité des φ_n , on choisit $x_{n+1} \in E_{n+1}$ tel que $\varphi_n(x_{n+1}) = x_n$ et l'axiome du choix dénombrable permet de conclure. □

Si le système projectif $(E_n, \varphi_n)_{n \in \mathbb{N}}$ est formé d'espaces topologiques et d'applications continues, alors la construction précédente assure que la limite projective (E, ψ_n) est un espace topologique muni d'applications continues.

Proposition 4.5. *Une limite projective de compacts non vides est non vide.*

Démonstration. Soit (K_n, φ_n) un système projectif constitué d'ensembles compacts. $\prod K_n$ est compact par le théorème de Tychonoff, et la limite projective du système est un fermé par construction $(\bigcap_{n \geq 0} (\varphi_n \circ p_{n+1} - p_n)^{-1}(0))$. Donc $\lim_{\leftarrow} K_n$ est compact. Posons

$$\dots \quad K''_n = \varphi_n(\varphi_{n+1}(K_{n+2})) \subset K'_n = \varphi_n(K_{n+1})$$

Ces ensembles sont compacts et non vides. Leurs intersection L_n est non vide dans K_n . De plus $\varphi_n(L_{n+1}) = L_n$, et les restrictions des φ_n aux L_n nous donnent un système projectif avec des applications surjectives. Par le corollaire précédent on peut en déduire que la limite projective de ce système est non vide. De plus, $\lim_{\leftarrow} L_n \subset \lim_{\leftarrow} K_n$ ce qui conclut. □

Corollaire 4.6. *La limite projective d'ensembles non vides est non vide.*

4.2. Retour à \mathbb{Z}_p

Nous savons alors en partant des considérations précédentes que le système $(\mathbb{Z}/p^n\mathbb{Z}, \varphi_n)$, avec $\varphi_n : \mathbb{Z}/p^{n+1}\mathbb{Z} \rightarrow \mathbb{Z}/p^n\mathbb{Z}$ le morphisme canonique, admet une limite projective. Une conséquence est que l'on peut donner une seconde définition, équivalente à la première, des entiers p -adiques.

Théorème 4.7. *L'application $\mathbb{Z}_p \rightarrow \lim_{\leftarrow} \mathbb{Z}/p^n\mathbb{Z}$; $x = \sum_{i=0}^{\infty} a_i p^i \mapsto (x_n = \sum_{i=0}^{n-1} a_i p^i)_{n \geq 0}$ est un isomorphisme d'anneaux topologiques.*

Démonstration.

$$\varphi_n : \sum_{i=0}^n a_i p^i \mapsto \sum_{i=0}^{n-1} a_i p^i$$

Les séquences cohérentes dans $\prod \mathbb{Z}/p^n\mathbb{Z}$ sont les sommes partielles des séries formelles $\sum_{i=0}^{\infty} a_i p^i$ où $0 \leq a_i < p$, précisément les entiers p -adiques.

$$x_1 = a_0, \quad x_2 = a_0 + a_1 p, \quad \dots \quad \text{et inversement} \quad a_0 = x_1, \quad a_1 = \frac{x_2 - x_1}{p}, \quad \dots$$

Ces relations montrent que la factorisation $\mathbb{Z}_p \rightarrow \lim_{\leftarrow} \mathbb{Z}/p^n\mathbb{Z}$ est bijective. C'est une application continue entre deux compacts, c'est donc un homéomorphisme. \square

5. Corps des p -adiques \mathbb{Q}_p

Définition 5.1. \mathbb{Z}_p est intègre donc le corps des fractions $\text{Frac}(\mathbb{Z}_p)$ est bien défini. Il est noté \mathbb{Q}_p .

Proposition 5.2. *Tout élément $x \in \mathbb{Z}_p$ peut se décomposer de façon unique $x = p^m u$ où $u \in \mathbb{Z}_p^\times$. A partir de cette écriture, $1/x = p^{-m} u^{-1} \in \mathbb{Q}_p$. Ainsi, $\mathbb{Q}_p = \mathbb{Z}_p[1/p]$.*

De plus, écrit sous cette forme, $1/x \in p^{-m} \mathbb{Z}_p$ ce qui assure l'écriture $\mathbb{Q}_p = \bigcup_{m \in \mathbb{N}} p^{-m} \mathbb{Z}_p = \bigsqcup_{m \in \mathbb{Z}} p^m \mathbb{Z}_p^\times$. La notion de valuation est étendue à \mathbb{Q}_p : $\nu(x = p^m u) = m \in \mathbb{Z}$. Ainsi $\nu^{-1}(\{m\}) = p^m \mathbb{Z}_p^\times$.

$$\nu(x) \geq 0 \Leftrightarrow x \in \mathbb{Z}_p \quad ; \quad a, b \in \mathbb{Z}_p, b \neq 0 \Rightarrow \nu\left(\frac{a}{b}\right) = \nu(a) - \nu(b) \quad ; \quad \nu(x + y) \geq \min\{\nu(x), \nu(y)\}$$

Proposition 5.3. *La valuation $\nu : \mathbb{Q}_p \rightarrow \mathbb{Z}$ définit un morphisme et $\forall x \in \mathbb{Q}_p \quad x = \sum_{k=\nu(x)}^{\infty} x_k p^k$.*

5.1. Parties entière et fractionnaire sur \mathbb{Q}_p

Définition 5.4. Soit $x = \sum_{\nu(x)}^{\infty} x_i p^i \in \mathbb{Q}_p$. On définit partie entière et partie fractionnaire de x par :

$$[x] = \sum_{i \geq 0} x_i p^i \in \mathbb{Z}_p \quad \text{et} \quad \langle x \rangle = \sum_{i < 0} x_i p^i \in \mathbb{Z}[1/p] \quad : \quad x = [x] + \langle x \rangle \quad \text{assure} \quad \mathbb{Q}_p = \mathbb{Z}_p + \mathbb{Z}[1/p]$$

$$0 \leq \langle x \rangle = \sum_{i=\nu(x)}^{-1} x_i p^i < (p-1) \sum_{i \geq 1} \frac{1}{p^i} = 1 \quad \text{donc} \quad \langle x \rangle \in [0, 1[\cap \mathbb{Z}[1/p]$$

Définition 5.5. Notons, pour $m \in \mathbb{N}$, $\mu_m = \{z \in \mathbb{C}, z^m = 1\}$, $\mu = \bigcup_{m \geq 1} \mu_m$ et $\mu_{p^\infty} = \bigcup_{k \geq 0} \mu_{p^k}$.

Proposition 5.6. *L'application $\tau : x \in \mathbb{Q}_p \mapsto \exp(2i\pi \langle x \rangle)$ est un morphisme de groupes de noyau \mathbb{Z}_p .*

En particulier, $\mathbb{Q}_p/\mathbb{Z}_p \simeq \mu_{p^\infty}$ et $x \in p^k \mathbb{Z}_p \Leftrightarrow \tau(x)^{p^k} = 1 \Leftrightarrow \tau(x) \in \mu_{p^k}$.

5.2. Structures sur \mathbb{Q}_p

5.2.1. Structure ultramétrique

Définition 5.7. L'application $x \mapsto |x| = p^{-\nu(x)}$ définit un morphisme $\mathbb{Q}_p^\times \rightarrow \mathbb{R}_+^*$ appelé valeur absolue p -adique. Par convention, $|0| = 0$.

$$x \neq 0 \Rightarrow |x| > 0 \quad ; \quad |xy| = |x| \cdot |y| \quad ; \quad |x + y| \leq \max\{|x|, |y|\}$$

$|\cdot|$ permet de définir une distance $d : (x, y) \mapsto |x - y|$ sur \mathbb{Q}_p vérifiant pour $x, y, z \in \mathbb{Q}_p$:

$$x = y \Leftrightarrow d(x, y) = 0 \quad ; \quad d(x, y) = d(y, x) \quad ; \quad d(x, y) \leq \max\{d(x, y), d(z, y)\} \quad ; \quad d(zx, zy) = |z|d(x, y)$$

Proposition 5.8. *(\mathbb{Q}_p, d) est un corps (ultra)métrique muni d'une valuation, donc un corps topologique, localement compact.*

5.2.2. Structure additive

$$\mathbb{Q}_p = \mathbb{Z}_p + \mathbb{Z}[1/p] \text{ mais } \mathbb{Q}_p \neq \mathbb{Z}_p \oplus \mathbb{Z}[1/p] \text{ car } \mathbb{Z}_p \cap \mathbb{Z}[1/p] = \mathbb{Z}$$

Pour une décomposition $\mathbb{Q}_p = \mathbb{Z}_p \oplus \Gamma$, il faudrait : $\Gamma \cap \mathbb{Z}_p = \{0\}$ ce qui implique $\Gamma = \{0\}$.

L'unicité de la décomposition sur $\mathbb{Z}_p + [0, 1) \cap \mathbb{Z}[1/p]$ donne le meilleur candidat 'supplémentaire', $[0, 1) \cap \mathbb{Z}[1/p]$, qui n'est pas un sous-groupe de $(\mathbb{Q}_p^\times, \times)$.

5.3. Caractérisation des rationnels dans \mathbb{Q}_p

Théorème 5.9. Soit $x = \sum_{\nu(x)}^{\infty} x_i p^i \in \mathbb{Q}_p$. $x \in \mathbb{Q} \Leftrightarrow (x_i)$ périodique à partir d'un certain rang.

Démonstration. Quitte à multiplier par une puissance de p , on peut supposer $\nu(x) \geq 0$, i.e. $x \in \mathbb{Z}_p$. Si la suite (x_i) est périodique à partir d'un certain rang s , alors x est la somme d'un entier et d'une combinaison linéaire d'éléments de la forme $\sum_{j \geq 0} p^{s+jt} = \frac{p^s}{1-p^t} \in \mathbb{Q}$, et donc $x \in \mathbb{Q}$.

Réciproquement, supposons $x = \sum_{i \geq 0} x_i p^i = \frac{a}{b} \in \mathbb{Q}$.

On peut choisir a et b premiers entre eux. b et p sont aussi premiers entre eux. En ajoutant un entier suffisamment grand, on se ramène au cas a et b , donc x , strictement positifs.

$$\sum_{j \leq \beta} b_j p^j \cdot \sum_{i \geq 0} x_i p^i = \sum_{k \leq \alpha} a_k p^k \text{ donc } \sum_{k=0}^l b_k x_{l-k} = a_l + r_{l+1} p$$

De là, pour $l > \max\{\alpha, \beta\}$, $b_0 x_l + \dots + b_\beta x_{l-\beta} + r_l = r_{l+1} p$. Il suffit de calculer $x_l \pmod p$ en fonction des termes précédents. Cet algorithme permet de calculer $(x_l, \dots, x_{l-\beta}, r_l) \in (\mathbb{Z}/p\mathbb{Z})^{\beta+1}$. L'ensemble $(\mathbb{Z}/p\mathbb{Z})^{\beta+1}$ étant fini, l'algorithme produit un résultat cyclique. \square

Exemple 5.10. Les entiers p -adiques $\sum_{n=0}^{\infty} p^{n^2}$ et $\sum_{n=0}^{\infty} p^{n!}$ ne sont pas rationnels.

6. Lemme de Hensel

Proposition 6.1. *Les propriétés suivantes sont équivalentes pour $P \in \mathbb{Z}[X, Y]$:*

- (i) P a une racine dans \mathbb{Z}_p .
- (ii) $\forall n \geq 0$, $P = 0$ a une solution dans $\mathbb{Z}/p^n\mathbb{Z}$.
- (iii) $\forall n \geq 0$, il existe $(a_n, b_n) \in \mathbb{Z}^2$ tel que $P(a_n, b_n) = 0 \pmod{p^n}$.

Démonstration. (iii) \Leftrightarrow (ii) Clair.

(i) \Rightarrow (ii) Pour $x = \sum_{i \geq 0} a_i p^i$ posons $x_n = \sum_{i < n} a_i p^i \pmod{p^n} \in \mathbb{Z}/p^n\mathbb{Z}$. Ainsi pour $(x, y) \in \mathbb{Z}_p \times \mathbb{Z}_p$, on a

$$P(x_n, y_n) = P(x, y) \pmod{p^n}$$

(ii) \Rightarrow (i) Considérons les ensembles suivants

$$X_n = \{(x, y) \in \mathbb{Z}/p^n\mathbb{Z} \times \mathbb{Z}/p^n\mathbb{Z}; P(x, y) = 0\}$$

La réduction modulo p^n fournit une application $\varphi_n : X_{n+1} \rightarrow X_n$ qui nous donne un système projectif. Ce système admet une limite projective $X \subset \mathbb{Z}_p \times \mathbb{Z}_p$. Les éléments de X sont solutions de $P = 0$. X est non vide par le corollaire de la proposition 4.4. \square

Proposition 6.2. *Soit A un anneau, $P \in A[X]$ alors il existe $P_1, P_2 \in A[X, Y]$ tel que*

$$P(X + h) = P(X) + hP_1(X, h) = P(X) + hP'(X) + h^2P_2(X, h)$$

Démonstration. En posant $P(X) = \sum a_n X^n$ alors

$$\begin{aligned} P(X + h) &= \sum a_n (X + h)^n = \sum a_n (X^n + nX^{n-1}h + h^2(\dots)) \\ &= \sum a_n X^n + \sum n a_n X^{n-1} h + h^2 P_2(X, h) \end{aligned}$$

\square

La proposition suivante permet de montrer que l'on peut toujours obtenir une meilleure approximation d'une racine d'un polynôme à coefficients p -adiques.

Proposition 6.3. *Soit $P \in \mathbb{Z}_p[X]$ et $x \in \mathbb{Z}_p$ tel que $P(x) \equiv 0 \pmod{p^n}$ pour un certain $n \in \mathbb{N}$. Si $k = \nu(P'(x)) < n/2$, alors $x_1 = x - P(x)/P'(x)$ satisfait*

- (i) $P(x_1) \equiv 0 \pmod{p^{n+1}}$
- (ii) $x_1 \equiv x \pmod{p^{n-k}}$
- (iii) $\nu(P'(x_1)) = \nu(P'(x))$

Démonstration. Posons $P(x) = p^n y$ pour $y \in \mathbb{Z}_p$, et $P'(x) = p^k u$ pour $u \in \mathbb{Z}_p^*$. Par définition de x_1 dans la proposition précédente

$$x_1 - x = -P(x)/P'(x) = p^{n-k} y u^{-1} \in p^{n-k} \mathbb{Z}_p \text{ et } P(x_1) = P(x) - P(x)/P'(x) P'(x) + (x_1 - x)^2 t \text{ où } t \in \mathbb{Z}_p$$

Ainsi

$$P(x_1) = (x_1 - x)^2 t \in p^{2n-2k} \mathbb{Z}_p \subset p^{n+1} \mathbb{Z}_p \quad n > 2k$$

De plus

$$P'(x_1) = P'(x + (x_1 - x)) = P'(x) + (x_1 - x)s = p^k u + p^{n-k} z s = p^k v$$

On a alors

$$v = u + p^{n-2k} z s \in up\mathbb{Z}_p \in \mathbb{Z}_p^\times$$

Cela montre que $\nu(P'(x_1)) = \nu(P'(x))$ comme voulu. \square

Ce résultat est à mettre en rapport avec la méthode de Newton sur \mathbb{R} pour trouver les zéros d'une fonction f , C^1 . Cette méthode consiste à supposer que l'on part d'un réel x_0 proche d'un zéro de f où la pente $f'(x_0)$ ne soit pas nulle. On définit alors par récurrence x_{n+1} comme l'abscisse à laquelle la tangente à f en x_n coupe l'axe des abscisses. La suite ainsi définie converge quadratiquement vers une zéro de f .

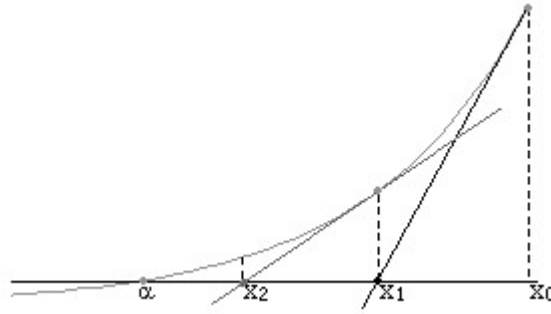


FIGURE 3 – Illustration de la méthode de Newton

Le résultat suivant permet de construire une racine à un polynôme dont on connaît une "racine approchée".

Théorème 6.4 (Lemme de Hensel). *Soit $P \in \mathbb{Z}_p[X]$. S'il existe $a \in \mathbb{Z}_p[X]$ et $N \in \mathbb{N}$ tels que $P(a) \equiv 0 \pmod{p^N}$ et si $k = \nu(P'(a)) < N/2$, alors il existe une unique racine ε de P dans \mathbb{Z}_p tel que*

$$\varepsilon \equiv a \pmod{p^{N-k}} \text{ et } \nu(P'(a)) = \nu(P'(\varepsilon))$$

Démonstration.

- (i) *Existence* Pour $x_0 = a$, construisons $x_1 \in \mathbb{Z}_p$ une racine "plus précise" (On utilise la proposition précédente), c'est-à-dire une racine vérifiant :

$$x_1 \equiv x_0 \pmod{p^{N-k}} \quad P(x_1) \equiv 0 \pmod{p^{N+1}} \text{ et } \nu(P'(x_0)) = \nu(P'(x_1))$$

De façon similaire on peut obtenir un entier p -adique x_2 satisfaisant

$$x_2 \equiv x_1 \pmod{p^{N+1-k}} \quad P(x_2) \equiv 0 \pmod{p^{N+2}}$$

En itérant cette construction on obtient une suite de Cauchy $(x_n)_{n \geq 0}$ ayant une limite p -adique car \mathbb{Z}_p est complet. Cette limite ε satisfait $\varepsilon \equiv a \pmod{p^{N-k}}$ et $P(\varepsilon) = 0$.

- (ii) *Unicité* Soit ε et η deux racines de P satisfaisant les conditions du théorème. Alors en particulier, $\eta \equiv \varepsilon \pmod{p^{N-k}}$, et comme $n > 2k$ on a $n - k > k$. Et donc $\eta \equiv \varepsilon \pmod{p^{k+1}}$.
Alors

$$P(\eta) = P(\varepsilon) + P'(\varepsilon)(\eta - \varepsilon) + (\eta - \varepsilon)^2 b$$

pour un certain entier p -adique b . Ainsi

$$(\eta - \varepsilon)(P'(\varepsilon) + (\eta - \varepsilon)b) = 0$$

Mais en raisonnant sur l'ordre, $P'(\varepsilon) + (\eta - \varepsilon)b \neq 0$. Par intégrité de \mathbb{Z}_p , $\eta = \varepsilon$.

□

7. Applications du lemme de Hensel

7.1. Inversibles de \mathbb{Z}_p

Considérons le polynôme $P = aX - 1$, avec $a \in \mathbb{Z}_p \setminus p\mathbb{Z}_p$. P admet une racine approchée *mod* p car a_0 est non nul, donc inversible dans le corps \mathbb{F}_p .

De plus, $P'(x) = a$ et $\nu(a) = 0$ (a inversible), donc cette racine *mod* p peut être améliorée en une racine *mod* p^n pour $n \in \mathbb{N}$.

Par le lemme de Hensel, il existe $\xi \in \mathbb{Z}_p$ tel que $P(\xi) = 0$, i.e. $a\xi = 1$. ξ fournit un inverse pour a . D'où l'inclusion $\mathbb{Z}_p \setminus p\mathbb{Z}_p \subset \mathbb{Z}_p^\times$.

Réciproquement, a inversible $\Rightarrow \varepsilon(a)$ inversible dans $\mathbb{F}_p \Rightarrow a_0 \neq 0$. Donc $\mathbb{Z}_p^\times \subset \mathbb{Z}_p \setminus p\mathbb{Z}_p$.

7.2. Racines n -ièmes de l'unité dans \mathbb{Z}_p

Soit ξ une racine n -ième de l'unité dans \mathbb{Q}_p : $\xi^n = 1$. $n\nu(\xi) = \nu(1) = 0$ donc $\nu(\xi) = 0$.

Les racines n -ièmes de l'unité de \mathbb{Q}_p sont donc des inversibles de \mathbb{Z}_p . En particulier, chaque racine a une réduction *mod* p dans \mathbb{F}_p^\times .

Considérons le polynôme $P = X^{p-1} - 1$. $P' = (p-1)X^{p-2}$ et $x \in \mathbb{Z}_p^\times \Rightarrow x^{p-2} \in \mathbb{Z}_p^\times \Rightarrow \nu(P'(x)) = 0$. Les $p-1$ éléments de \mathbb{F}_p^\times fournissent des racines distinctes de P dans \mathbb{F}_p . Le lemme de Hensel assure alors l'existence de $p-1$ racines distinctes dans \mathbb{Z}_p^\times . Autrement dit, \mathbb{Q}_p contient toujours un groupe cyclique d'ordre $p-1$ constitué de racines de l'unité.

Proposition 7.1. *Si p est impair (i.e. $p \neq 2$), alors le groupe des racines de l'unité de \mathbb{Q}_p , noté $\mu(\mathbb{Q}_p)$, est μ_{p-1} , les racines $p-1$ -ièmes de l'unité.*

Démonstration. Montrons que la réduction *mod* p $\varepsilon : \mu(\mathbb{Q}_p) \rightarrow \mathbb{F}_p^\times$ est bijective.

(i) Par ce qui précède, ε est surjective.

(ii) Soit $\zeta = 1 + pt \in \ker \varepsilon$ une racine de l'unité d'ordre n : $\zeta^n = 1$. Puisque $p \neq 0$, en développant :

$$t\left(n + \binom{n}{2}pt + \dots + p^{n-1}t^{n-1}\right) = 0 \text{ donc } t = 0 \text{ ou } p|n$$

Si $t = 0$ alors $\zeta = 1$ et on conclut : $\ker \varepsilon = \{1\}$, ε est injective.

Sinon, la relation précédente pour $\zeta^{\frac{n}{p}}$ et $\frac{n}{p}$ donne $t = 0$ ou $p^2|n$. En itérant, on se ramène à $n = p$.

$$t\left(p + \binom{p}{2}pt + \dots + p^{p-1}t^{p-1}\right) = 0 \text{ et } p + \binom{p}{2}pt + \dots + p^{p-1}t^{p-1} \neq 0 \text{ donc } t = 0$$

□

7.3. Automorphisme(s) de corps de \mathbb{Q}_p

Lemme 7.2. *Soit $x \in \mathbb{Q}_p^\times$. $x \in \mathbb{Z}_p^\times \Leftrightarrow x^{p-1}$ possède une racine n -ième pour une infinité de n .*

Démonstration.

- (i) Si $x \in \mathbb{Z}_p^\times$ alors $x \not\equiv 0 \pmod p$ et $x^{p-1} \equiv 1 \pmod p$. Soit $a = x^{p-1}$.
 1 est une racine approchée $\pmod p$ du polynôme $P = X^n - a$ et $P'(1) = n$ qui ne s'annule pas $\pmod p$ si n n'est pas multiple de p . Le lemme de Hensel fournit alors une racine $\xi \in \mathbb{Z}_p$ vérifiant $\xi^n = a = x^{p-1}$.
- (ii) Réciproquement, si $x^{p-1} = y_n^n$ avec $\forall n \in \mathbb{N} \quad y_n \in \mathbb{Q}_p^\times$, alors $(p-1)\nu(x) = n\nu(y_n)$, donc n divise $(p-1)\nu(x)$. Ceci étant vrai pour une infinité de n , $\nu(x) = 0$, i.e. $x \in \mathbb{Z}^\times$.

□

Théorème 7.3. *Le seul automorphisme de corps de \mathbb{Q}_p est l'identité.*

Démonstration. Soit φ un automorphisme de corps de \mathbb{Q}_p . Le lemme précédent assure que \mathbb{Z}_p^\times est stable par φ . De plus, φ est trivial sur \mathbb{Q} .

Soit $x \in \mathbb{Q}_p^\times$. Il existe une décomposition $x = p^m u$ avec $m = \nu(x)$ et $u \in \mathbb{Z}_p^\times$.

$$\varphi(x) = \varphi(p^m u) = \varphi(p^m) \varphi(u) = p^m \varphi(u) \text{ avec } \varphi(u) \in \mathbb{Z}_p^\times$$

$\nu(\varphi(x)) = \nu(x)$ et φ préserve la valuation des p -adiques, donc φ est continu.

Soit $y \in \mathbb{Q}_p$. Soit $(r_n) \in \mathbb{Q}^{\mathbb{N}}$, $r_n \xrightarrow{n \rightarrow \infty} y$. Par continuité :

$$\varphi(y) = \varphi(\lim_{n \rightarrow \infty} r_n) = \lim_{n \rightarrow \infty} \varphi(r_n) = \lim_{n \rightarrow \infty} r_n = y$$

□